



سنجش از دور

،  
GIS ایران



سال پنجم، شماره دوم، تابستان ۱۳۹۲  
Vol.5, No.2, Summer 2013

سنجش از دور و GIS ایران  
Iranian Remote Sensing & GIS

۹۵-۱۱۴

## مدل سازی مکانی - زمانی وقوع طوفان‌های گردوغبار در استان خوزستان

حسین علی بهرامی<sup>۱\*</sup>، محبوبه جلالی<sup>۲</sup>، علی درویشی بلوارانی<sup>۳</sup>، رسول عزیزی<sup>۴</sup>

۱. دانشیار گروه خاک‌شناسی، دانشکده کشاورزی، دانشگاه تربیت مدرس
۲. دانشجوی دکترا شیمی و حاصل خیزی خاک، گروه خاک‌شناسی، دانشکده کشاورزی، دانشگاه تربیت مدرس
۳. استادیار گروه سنجش از دور و GIS، دانشکده جغرافیا، دانشگاه تهران
۴. دانشجوی دکترا هوش مصنوعی، گروه هوش مصنوعی، دانشکده مهندسی کامپیوتر و فناوری اطلاعات، دانشگاه شاهروド

تاریخ پذیرش مقاله: ۱۳۹۲/۹/۹

تاریخ دریافت مقاله: ۱۳۹۱/۶/۲۵

### چکیده

در سال‌های اخیر وقوع طوفان‌های گردوغبار به بحران جدی منطقه‌ای تبدیل شده است. استان خوزستان، از مناطقی است که تحت تأثیر این پدیده قرار دارد. پارامترهای اقلیمی و پوشش گیاهی در وقوع این طوفان‌ها نقش مهمی دارند. در این تحقیق، تغییرات زمانی و مکانی پارامترهای اقلیمی و پوشش گیاهی و ارتباط آن‌ها با پدیدآمدن طوفان‌های گردوغبار بررسی شد. بدین منظور، داده‌های اقلیمی (سرعت باد، دما، بارندگی، درصد رطوبت نسبی)، و فراوانی وقوع ریزگردها در سال ۲۰۰۰ تا ۲۰۰۸ ارزیابی شد. با استفاده از تصاویر مودیس، شاخص NDVI برای هر ماه طول این دوره استخراج و سپس واسطه‌یابی داده‌ها با روش کریجینگ انجام شد. بعد از انجام پیش‌پردازش، داده‌ها به ماتریس‌های  $18 \times 18$  تبدیل شدند. مدل رگرسیون خطی ای چندمتغیره (از لحظه پارامتر) بین پارامترهای اقلیمی و پوشش گیاهی (متغیرهای مستقل) و فراوانی طوفان‌های گرد و غبار برای هر پیکسل (المان ماتریس) تخمین زده شد. براساس مدل‌های به دست آمده، بین مقادیر واقعی و پیش‌بینی شده در تمام ماه‌ها به جز خرداد، انباطق ( $96/0$  درصد) وجود دارد. تفسیر نقشه‌های خاک، کاربری اراضی، و نوع پوشش گیاهی، از وجود خاک‌های شور و قلیا با قابلیت انتشار زیاد به هوا در مناطق جنوبی استان نشان دارد که باعث ایجاد بالاترین پتانسیل وقوع گرد و غبار با منشأ داخلی در این مناطق شده است. نتایج تست اعتبارسنجی برای همه انواع خاک، نشان داد که بیشترین دقت، به خاک‌های شور و قلیا و کمترین دقت، به خاک‌های باتلاقی شور و تپه‌های شنی ربط دارد. بنابراین، تخریب پوشش گیاهی به طور مؤثری فراوانی طوفان‌های گردوغبار با منشأ داخلی را در استان خوزستان تحت تأثیر قرار داده است و خاک‌های شور و قلیا بیشتر از سایر خاک‌ها مستعد رهاسازی ذرات غبار به جو هستند.

**کلیدواژه‌ها:** گرد و غبارهای داخلی، پارامترهای اقلیمی، مودیس، مدل سازی مکانی - زمانی، خوزستان.

\* نویسنده مکاتبه‌کننده: بزرگراه تهران کرج، بولوار پژوهش، دانشگاه تربیت مدرس، دانشکده کشاورزی، گروه خاک‌شناسی. تلفن: ۰۹۱۲۱۳۰۷۳۶۴

Email: bahramih@modares.ac.ir

**۱- مقدمه**

زمین مناطق مستعد طوفان‌های گرد و غبار، ارتباط زیادی با پوشش گیاهی، بافت خاک، و میزان مناطق بایر و خشک دارد. شی و ژاآو (Shi and Zhao, 2003) با معرفی سیستمی برای پیش‌بینی وقوع طوفان گرد و غبار، فاکتورهایی مثل نوع خاک، ویژگی‌های پوشش گیاهی، نوع کاربری اراضی، و مقدار رطوبت خاک سطحی را به عنوان پارامترهای مهم در ساخت مدلی مناسب برای پیش‌بینی فراوانی طوفان‌های گرد و غبار در نظر گرفتند. همچنین کی آن و دیگران (Qian et al., 2004) بیان داشتند که زمین‌های بایر، پتانسیل بالایی برای وجود آوردن ریزگردها دارند. به‌طور کلی، عوامل مؤثر در شکل‌گیری طوفان‌های گرد و غبار، فقط شرایط محیطی، اقلیمی، و پوشش گیاهی نیست بلکه این گونه طوفان‌ها ارتباط نزدیکی با میزان فرسایش خاک سطحی دارند (In and Park, 2003). در سال‌های اخیر، تحقیقات سیستماتیک و اصولی روی طوفان‌های گرد و غبار انجام شده است (Shao and Wang, 2003).

اغلب این مطالعات از نظر پایش و مدل‌سازی این گونه طوفان‌ها، با استفاده از مدل‌های عددی پیشرفته (Shao et al., 2003; Park et al., 2003; Ginoux et al., 2004)، داده‌های سنجش از دور (Prospero et al., 2002) و GIS انجام شده است. ویژگی‌های مکانی و زمانی وقوع این گونه طوفان‌ها، در مطالعات زیادی بررسی شده است (Gao et al., 1997) اما مدل‌سازی این مطالعه، ارتباط بین پارامترهای مؤثر بر این گونه طوفان‌ها موضوعی است که باید بیشتر به آن پرداخته شود. در این مطالعه، ارتباط بین پارامترهای اقلیمی مثل بارندگی، دما، سرعت باد، درصد رطوبت نسبی، و ویژگی‌های سطحی زمین، مثل نوع بافت خاک و پوشش گیاهی با فراوانی طوفان‌های گرد و غبار مطالعه شده است. تکلیف‌سنجش از دور، GIS و تحلیل اطلاعات اقلیمی برای آنالیز تأثیر اقلیم و نوع پوشش گیاهی بر فراوانی طوفان‌های گرد و غبار استفاده شده است. هدف اصلی این تحقیق، بررسی و مدل‌سازی ارتباط بین فراوانی وقوع طوفان‌های گرد و غبار داخلی در استان خوزستان با تغییرات مکانی - زمانی

طوفان‌های گرد و غبار، نوعی از بلایای طبیعی هستند که اغلب در مناطق خشک و نیمه‌خشک اتفاق می‌افتد. فراوانی طوفان‌های گرد و غبار، ارتباط نزدیکی با شرایط اقلیمی محلی مثل بارندگی، دما، و همچنین ویژگی‌های سطحی زمین مثل پوشش گیاهی و بافت خاک دارد (Nickling and Brazel, 1989, Sun et al., 2003). علاوه بر این، پوشش گیاهی در مناطق خشک و نیمه‌خشک، حساسیت بالایی به میزان بارندگی دارد و حتی تغییری کوچک در میزان بارندگی، به‌طور معنی‌داری پوشش گیاهی سطح زمین را به‌خصوص در Malo and Nicholson, 1990, Nicholson and Farrar, William and Thomas, Grist et al., 1997 بعدی برای تولید و حمل گرد و غبار است (Kurosaki and Mikamil., 2003). هنگامی که سرعت باد به حد آستانه می‌رسد - که تابعی از ویژگی‌های سطح زمین است - ذرات ممکن است به‌وسیله سه فرایند خرزش، جهش، و تعلیق حرکت کنند و به مسافت‌های دور منتقل شوند (Gillette 1981, Li et al., 2002). پژوهش‌های گسترده‌ای به نقش پارامترهای اقلیمی بر فراوانی طوفان‌های گرد و غبار پرداخته‌اند (Qian et al., 2002, In and Park, 2002). برخی مطالعات نشان داده‌اند که اغلب، بین فراوانی طوفان‌های گرد و غبار و پارامترهای اقلیمی ارتباط معنی‌داری وجود ندارد (Hu et al., 2001, He et al., 2003, Wang et al., 2004). این موضوع نشان می‌دهد که مؤلفه‌های دیگری هم بر فراوانی طوفان‌های گرد و غبار مؤثرند. وانگ و دیگران (Wang et al., 2001) نشان دادند که پدید آمدن طوفان‌های گرد و غبار نیاز به بادی شدید، و منبع غنی‌ای از ذرات ریز و شرایط اتمسفری ناپایدار دارد. فراوانی طوفان‌های گرد و غبار در خوزستان به‌طور عمده در تابستان بیش از زمان‌های دیگر است و شدت آن نیز با بادهایی که از شرق می‌وزند افزایش می‌یابد. لندکاستر و لین و همکاران (Lancaster, 1998 and Lin et al., 1999) بیان داشتند که ویژگی‌های سطح

## مدل‌سازی مکانی-زمانی وقوع طوفان‌های گرد و غبار در استان خوزستان

به عنوان پارامترهای نسبتاً استاتیک بررسی شدند. فراوانی وقوع طوفان‌های گرد و غبار به عنوان متغیر وابسته، و پارامترهای دینامیک و استاتیک به عنوان متغیرهای مستقل، در این تحقیق بررسی و مدل‌سازی مکانی-زمانی شدند. وقوع این گونه طوفان‌ها در ایستگاه‌های ماهشهر، آبادان، اهواز، بستان و بهبهان بیشترین فراوانی را دارد، که تبیین آن از اهداف این تحقیق است.

**۱-۲- پارامترهای نسبتاً دینامیک**  
در پژوهش حاضر، اطلاعات آمار هواشناسی استان خوزستان، در دوره آماری ۹ ساله (۲۰۰۰-۲۰۰۸) از ۱۴ ایستگاه سینوپتیک در استان خوزستان دریافت شد. این اطلاعات، شامل داده‌های ماهانه میانگین درجه حرارت، بارندگی، سرعت باد، فراوانی وقوع ریزگردها، و رطوبت نسبی هوا بودند. علاوه بر این، سایر اطلاعات مورد نیاز از طریق بررسی نقشه‌های خاک، کاربری اراضی، و نوع پوشش گیاهی تهیه شدند. شاخص پوشش گیاهی استفاده شده در این تحقیق NDVI است که برای استخراج این شاخص از داده‌های سنجنده MODIS برگرفته از سایت مودیس استفاده شد.

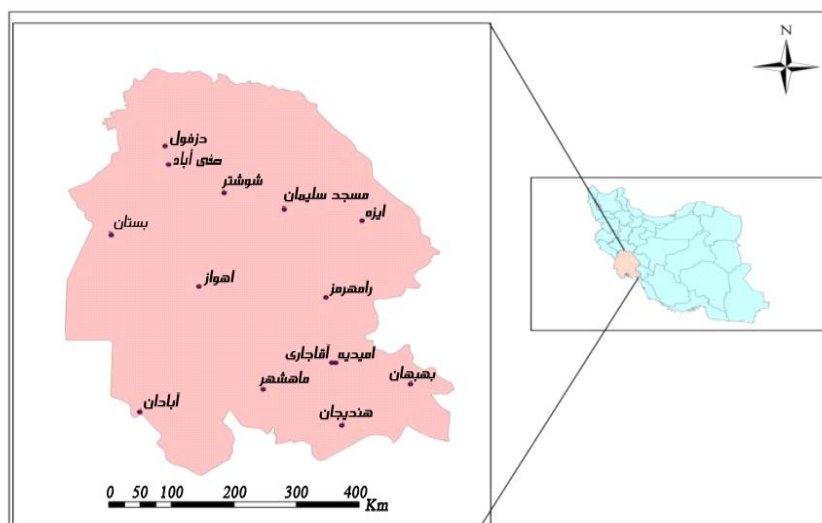
پارامترهای اقلیمی، پوشش گیاهی، و نوع خاک است. بنابراین، تغییرات زمانی و مکانی وضعیت اقلیمی و پوشش گیاهی در کانون‌های ایجاد گرد و غبار بررسی شد. همچنین، پهنه‌بندی اقلیمی و پوشش گیاهی کانون‌های ایجاد گرد و غبار صورت گرفت و سرانجام، وجود ارتباط بین پارامترهای اقلیمی و پوشش گیاهی با وقوع این گونه طوفان‌ها تعیین گردید.

### ۲- مواد و روش‌ها

استان خوزستان واقع در جنوب غربی ایران بین مختصات جغرافیایی  $32^{\circ} 47^{\prime}$  طول جغرافیایی تا  $39^{\circ} 50^{\prime}$  طول جغرافیایی و از  $29^{\circ} 57^{\prime}$  عرض جغرافیایی تا  $33^{\circ} 00^{\prime}$  عرض جغرافیایی قرار دارد (شکل ۱).

در این تحقیق، برای تعیین پارامترهای تأثیرگذار بر فراوانی وقوع طوفان‌های گرد و غبار و مدل‌سازی رفتار زمانی-مکانی آن‌ها، این پارامترها در تقسیم‌بندی کلی به دو دسته نسبتاً دینامیک و نسبتاً استاتیک تفکیک گردیدند. سرعت باد، بارندگی، دما، درصد رطوبت نسبی، و NDVI به عنوان پارامترهای نسبتاً دینامیک تعیین شدند.

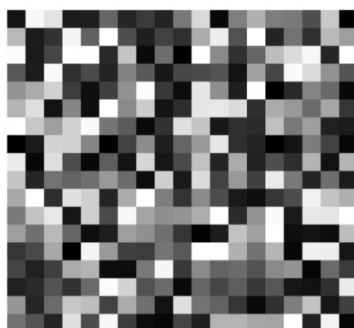
ویژگی‌های سطحی زمین، مثل نوع خاک، اراضی، شوری و قلیایی بودن خاک، و نوع پوشش گیاهی



شکل ۱. موقعیت و نام ایستگاه‌های سینوپتیک مطالعه شده

به صورت معادلات خطی و غیرخطی وجود دارد (Walford, 1995). چند نمونه از این شاخص‌ها و روابط، از جمله ضریب همبستگی، رگرسیون دومتغیره، و رگرسیون چندمتغیره کاربردهای بیشتری دارند. روش‌های گوناگون (از جمله تست نرمالیتی) کارایی‌های متفاوتی دارند و گاه نتایج متفاوتی نیز ارائه می‌کنند. در بررسی نرمال بودن داده‌ها، از سه روش متفاوت برای تست نرمالیتی استفاده شد. این روش‌ها عبارت‌اند از: Kolmogorov-Smirnov، Shapiro-Wilk، و روش Q-Q. PLOT. نتایج نرمال‌سازی داده‌ها بیانگر آن است که داده‌ها کاملاً نرمال‌اند و می‌توان از آن‌ها در تجزیه و تحلیل استفاده کرد.

بعد از عملیات درون‌یابی، داده‌های ایستگاهی اقلیمی به صورت رستری تهیه شدند. سپس تمام داده‌های اقلیمی و شاخص پوشش گیاهی ماهانه، هم‌مختصات شدند. بعد از استخراج NDVI به صورت ماهانه، میانگین ماهانه طی ۴ سال ۲۰۰۵ و ۲۰۰۳ و ۲۰۰۱ و ۲۰۰۷ به دست آمد. در آخر، تمام NDVI‌های نهایی به صورت ماتریسی  $19 \times 18$  تهیه گردیدند (شکل ۲).



شکل ۲. نمونه ماتریس  $19 \times 18$  استفاده شده در محاسبات

به این ترتیب، ۲۸۸ لایه رستری برای تحلیل‌های بعدی فراهم شد. سپس، برای هر پیکسل، با رگرسیون خطی چندمتغیره، مدلی که ارتباط بین متغیر وابسته، یعنی فراوانی وقوع ریزگردها را با متغیرهای مستقل، مثل شاخص سبزینگی گیاه، دما، بارندگی، سرعت باد، و مقدار رطوبت نسبی هوا می‌سنجد، به دست آمد.

### داده‌های اقلیمی

داده‌های اقلیمی از سال ۲۰۰۵ تا ۲۰۰۰ به صورت ماهانه و از سال ۲۰۰۵ تا ۲۰۰۸ به صورت روزانه بوده است که بعد از دریافت به صورت ماهیانه همسان‌سازی شدند. همچنین، تمام داده‌های فراوانی طوفان‌های گرد و غبار (DSF) به صورت روزانه و ترکیبی از کدهای ۷ و ۶ بودند که از بین این داده‌ها، فقط داده‌های با کد ۷، که نشان‌دهنده گرد و غبارهای محلی ایجاد شده به وسیله باد در ایستگاه و با نزدیکی آن در ساعت دیده‌بانی هستند، انتخاب شدند. برای تبدیل اطلاعات نقطه‌ای به اطلاعات سطح، از تکنیک مبتنی بر کریجینگ استفاده گردید.

### شاخص NDVI

به دلیل تأثیرات اتمسفر در هنگام ثبت انرژی دریافتی از سطح زمین به وسیله سنجنده‌ها، ناهمواری و حرکت زمین، و نیز وضعیت هندسی ماهواره در فضا و کارکرد دستگاه‌های الکترونیکی و اپتیکی نصب شده در سنجنده‌ها، معمولاً تصویر ماهواره‌ای رقومی خطاهایی دارد. عملیات تصحیح خطاهای موجود در تصویر، بخش مهمی از عملیات پیش‌پردازش را تشکیل می‌دهد (Mather, 1987). بعد از انجام پیش‌پردازش‌های مورد نیاز، NDVI ماهانه طی ۹ سال به تعداد ۱۰۸ لایه اطلاعاتی تهیه شد.

### ۲-۲- مدل‌سازی

مدل‌ها، صورت ساده‌شده‌ای از پدیده‌های پیچیده طبیعت هستند و تصمیم‌گیری درباره سطح ساده‌سازی و پیچیدگی آن‌ها، به هدف وابسته است (Gebhardt and Bandemer, 2000). از مهم‌ترین مواد مطالعات پارامترهای اقلیمی، شناخت روابط موجود بین متغیرهای مطالعه شده است. با مدل‌کردن روابط بین این متغیرها، می‌توان فراوانی پدید آمدن طوفان‌ها را بهتر شناسایی و پیش‌بینی کرد (Sun, 2001). روابط آماری متعددی برای شناخت رابطه بین متغیرها

## مدل‌سازی مکانی - زمانی وقوع طوفان‌های گرد و غبار در استان خوزستان

به منظور تحلیل و معنی‌داربودن کلی رگرسیون‌ها، روش آنالیز واریانس استفاده شد.

در ادامه، برای درک معنی‌داربودن اثر متغیرهای دما، بارندگی، درصد رطوبت نسبی، سرعت باد، و پوشش گیاهی بر متغیر وابسته فراوانی طوفان‌های گرد و غبار و همچنین اطمینان از صحت تأثیرات هر یک از متغیرهای فوق، با فرض ثابت نگهداشتن سایر متغیرها، از آزمون معنی‌داری ضرایب جزئی رگرسیونی (t) استفاده شد که به عنوان نمونه، در زیرپیکسل (۱۵ و ۱۲) ضرایب آن آمده است (جدول ۱ و رابطه ۱). میانگین این ضرایب در همه پیکسل‌ها، همان توان‌های معادله نهایی هستند.

همان‌طور که قبلاً توضیح داده شد، علاوه بر مؤلفه‌های اقلیمی و پوشش گیاهی، بافت خاک هم از دیگر عوامل تأثیرگذار در فراوانی وقوع طوفان‌های گرد و غبار است. بر همین اساس، داده‌های نوع خاک‌های استان خوزستان هم، به صورت رستری تهیه گردیدند. خاک‌های این استان به ۱۰ دسته طبقه‌بندی شد. در مرحله بعد، برای هر نوع خاک، میانگین مدل‌های رگرسیونی تهیه شده براساس پارامترهای اقلیمی و پوشش گیاهی، محاسبه و در نهایت برای هر نوع خاک یک مدل برآش داده شد. به این ترتیب، به تعداد کلاس‌های خاک، مدل تهیه شد که در این مدل‌ها علاوه بر پارامترهای اقلیمی و پوشش گیاهی، نوع خاک هم در نظر گرفته شد.

تمام اطلاعات پارامترهای اقلیمی و شاخص پوشش گیاهی که به صورت ماتریس درآمده بودند، برای انجام تحلیل‌های آماری به نرم‌افزار MATLAB وارد گردید و برای هر پیکسل، متغیرهای دما، بارندگی، درصد رطوبت نسبی، سرعت باد، و پوشش گیاهی تعیین شد. سپس، بعد از رفع همخطی، همبستگی، و واریانس ناهمسانی و غیرهمگنی بین متغیرهای فوق به عنوان فرض‌های استفاده از روش رگرسیون چندگانه برای پیش‌بینی اثر متغیرهای مذکور بر فراوانی طوفان‌های گرد و غبار برای هر پیکسل، از مدل رگرسیون خطی چندمتغیره استفاده شد. در ادامه، با میانگین‌گیری از تخمین مدل‌های رگرسیونی همه پیکسل‌های فوق در کلاس‌های متفاوت خاک، مدل رگرسیون خطی چندمتغیره دیگری در هر کلاس خاک تخمین زده شد. برای درک دقیق برآش خطوط رگرسیونی مذکور، از معیار  $R^2$  ضریب تبیین و  $R^2$  تعدیل شده و همچنین

رابطه (۱)

$$|y| = b_0 (|x_1| + 1)^{b_1} (|x_2| + 1)^{b_2} \dots (|x_5| + 1)^{b_5} - 1$$

در رابطه (۱)،  $X_1$ ، سرعت باد؛  $X_2$ ، بارندگی؛  $X_3$ ، دما؛  $X_4$ ، درصد رطوبت نسبی؛ و  $X_5$ ، NDVI است. در این روش به هر یک از متغیرهای اقلیمی مثل سرعت باد، بارندگی، دما، درصد رطوبت نسبی، و پوشش گیاهی، ضریب اختصاص یافت. همچنین، فراوانی طوفان‌های گرد و غبار به عنوان متغیر وابسته و هریک از پارامترهای ذکر شده در بالا، به عنوان متغیر مستقل در نظر گرفته شدند. برای هریک از متغیرها، نموداری ترسیم شد که در نمودارهای به دست آمده در محور افقی به ترتیب ماههای سال در ۴ سال (در جمع ۴۸ ماه) و در محور عمودی مقادیر متغیرها قرار گرفتند.

جدول ۱. ضرایب نمونه‌ای از پیکسل‌ها به طور تصادفی

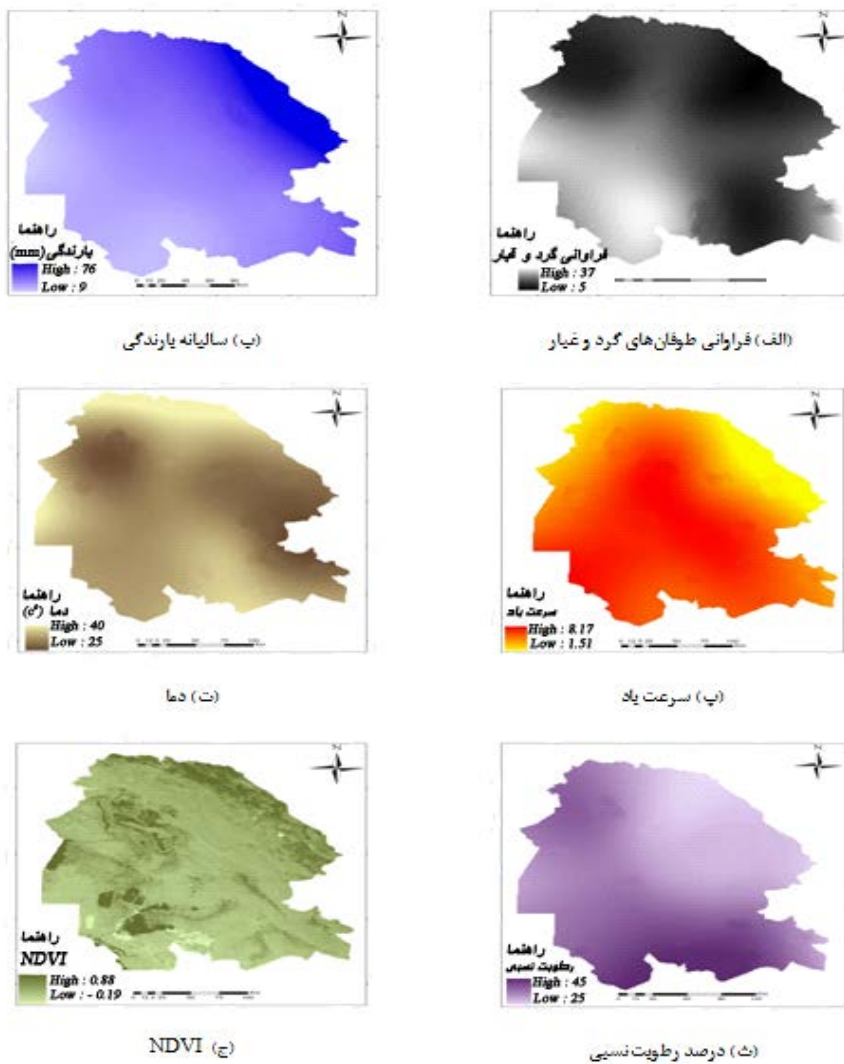
پیکسل	ضریب ثابت	ضریب سرعت باد	ضریب دما	ضریب بارندگی	ضریب رطوبت	ضریب NDVI
4881/0-	7511/0-	4489/0	0338/0	3380/1	6864/3	(15,12)

### ۳- نتایج

فراوانی طوفان‌های گرد و غبار همان‌گونه که در شکل ۳-الف نشان داده شده است در حاشیه جنوبی و جنوب‌غربی خوزستان بیش از سایر مناطق است. مناطقی که فراوانی طوفان‌های گرد و غبار در آنها زیاد است، در مقایسه با بقیه مناطق بارندگی کمتری در طول سال دارند. میانگین سالیانه بارندگی در این مناطق بهدرت از ۸۰ میلی‌متر بیشتر شده و مطابق شکل ۳، روند فراوانی طوفان‌های گرد و غبار به‌طور بسیار آشکاری از روند بارندگی در این استان پیروی می‌کند (شکل ۳-ب).

### اعتبارسنجی مدل

برای ارزیابی مدل‌های تهیه شده، از میانگین ماهانه داده‌های ۵ سال ۲۰۰۰، ۲۰۰۲، ۲۰۰۴، ۲۰۰۶ و ۲۰۰۸ به عنوان سال‌های تست استفاده شد. به‌این ترتیب که برای هر ماه به‌طور جداگانه فراوانی طوفان‌های گرد و غبار براساس متغیرهای مستقل پیش‌بینی و درنهایت، ۷۲ لایه رستری به صورت ماتریس‌های  $19 \times 19$  تهیه شد. شایان ذکر است که کلیه محاسبات برای استخراج مدل و همچنین تست مدل به‌دست‌آمده در محیط نرم‌افزار (R2011a) MATLAB 7.12.0 کدنویسی شد.



شکل ۳. میانگین سالیانه پارامترهای اقلیمی، وقوع طوفان‌های گرد و غبار، و NDVI

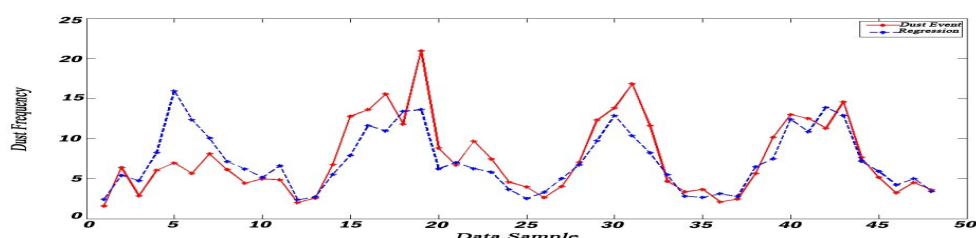
مقایسه با سایر مناطق که با رنگ روشن مشخص شده است، غنی‌تر هستند. به‌طور کلی، قسمت‌های جنوبی و غربی و مرکزی استان خوزستان، در مقایسه با قسمت‌های دیگر پوشش گیاهی ضعیف‌تری دارند. نکته شایان ذکر این است که در قسمت‌های شمالی و شمال شرقی و همچنین قسمت‌هایی از شمال غربی استان که کمترین فراوانی طوفان‌های گرد و غبار وجود دارد، بیشترین میزان پوشش گیاهی به‌چشم می‌خورد.

در شکل ۴ فراوانی ماهانه تعداد واقعی و پیش‌بینی شده طوفان‌های گرد و غباری با استفاده از مدل، برای کل استان خوزستان برای سال‌های ۲۰۰۱، ۲۰۰۳، ۲۰۰۵ و ۲۰۰۷ نشان داده شده است. در این نمودار، خط پیوسته قرمزرنگ، معروف مقدار واقعی فراوانی طوفان‌های گرد و غبار در زمان معین است و خط نقطه‌چین آبی رنگ، رگرسیون به‌دست‌آمده یا همان میزان پیش‌بینی شده مدل را در زمان معین نشان می‌دهد.

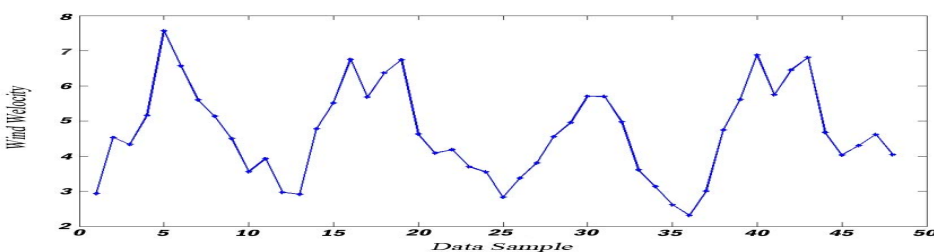
سرعت باد از دی‌ماه شروع به افزایش می‌کند و در تیرماه به حداقل مقدار خود می‌رسد (شکل ۵). تغییرات دما در طی ۴ سال و در ماههای گوناگون روند منظم‌تری را نشان می‌دهد. تقریباً در همه سال‌ها، حداقل فراوانی دما در تابستان، که حداقل فراوانی ریزگردها وجود دارد، مشاهده می‌شود (شکل ۶).

### ۱-۳-۱- اثر پارامترهای اقلیمی بر فراوانی طوفان‌های گرد و غبار

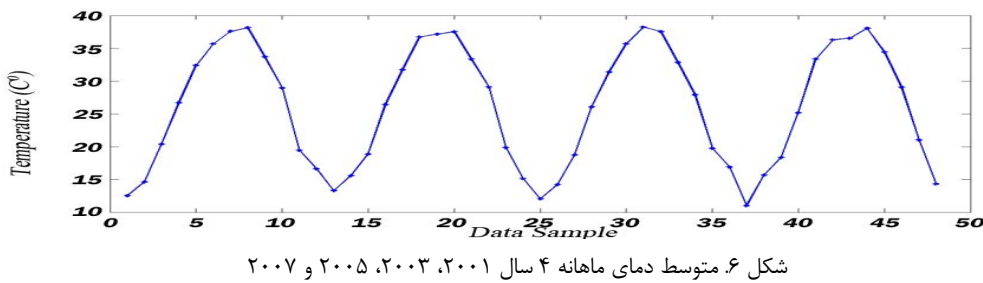
بادهای منطقه خوزستان در اثر تغییرات فشار هوا در فصل‌های گوناگون سال به‌وجود می‌آیند. مناطق متاثر از بادهای شدید، شامل قسمت‌های شمال‌غربی خوزستان به‌خصوص پیرامون دزفول و صفائی‌آباد هستند که این بادها به‌خصوص در فصل تابستان، بسیار دیده می‌شود. در قسمت‌های شمالی، غربی و جنوب‌شرقی خوزستان، سرعت باد بیشتر از سایر مناطق است. نقشه باد منطقه نشان می‌دهد که تقریباً در مناطقی که طوفان‌های گرد و غبار بیشتر اتفاق می‌افتد، سرعت باد بیشتر است و بادهای با سرعت بالا تقریباً در امتداد شمال به جنوب در این استان نمایان گشته‌اند (شکل ۳-پ). همچنین، در قسمت‌های مرکزی، غربی، و جنوب‌غربی خوزستان با بالاترین میزان دما، فراوانی وقوع این طوفان‌ها به‌طور معنی‌داری بیشتر از سایر مناطق است (شکل ۳-ت). بررسی نقشه درصد رطوبت نسبی در شکل ۳-ث نشان می‌دهد که کمترین رطوبت نسبی سالیانه در استان خوزستان به ترتیب در قسمت‌های شمال‌شرقی و غرب دیده می‌شود. شکل ۳-ج میانگین سالیانه NDVI در استان خوزستان را نشان می‌دهد. مناطقی که در نقشه با رنگ تیره‌تر نمایش داده شده‌اند، از نظر سیزینگ پوشش گیاهی در



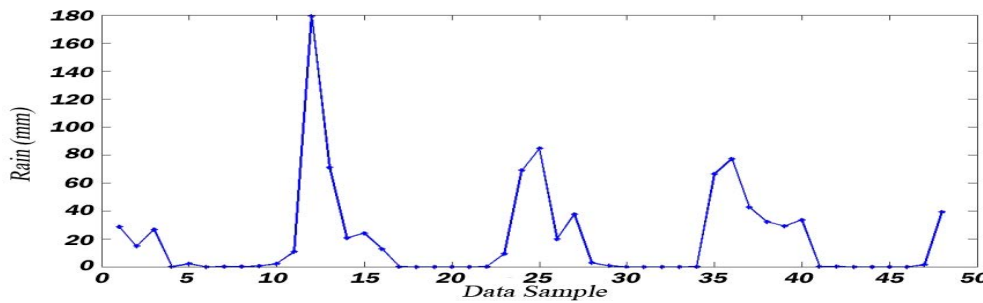
شکل ۴. متوسط فراوانی ماهانه و پیش‌بینی شده طوفان‌های گرد و غبار سال‌های ۲۰۰۱، ۲۰۰۳، ۲۰۰۵ و ۲۰۰۷



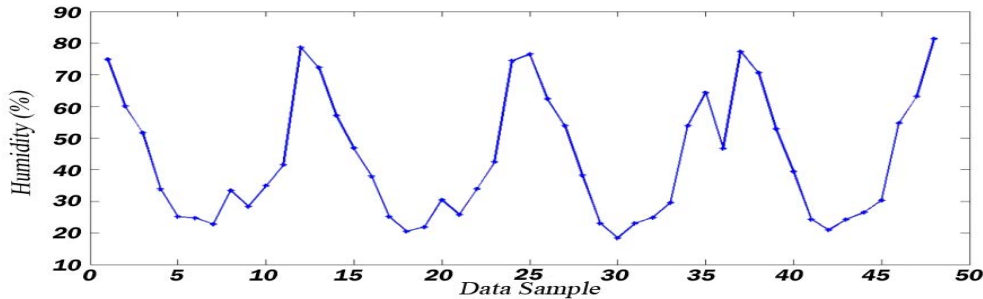
شکل ۵. متوسط سرعت باد ماهانه ۴ سال ۲۰۰۱، ۲۰۰۳، ۲۰۰۵ و ۲۰۰۷



شکل ۶. متوسط دمای ماهانه ۴ سال ۲۰۰۷، ۲۰۰۵، ۲۰۰۳، ۲۰۰۱ و ۲۰۰۰



شکل ۷. میزان بارندگی ماهانه ۴ سال ۲۰۰۷، ۲۰۰۵، ۲۰۰۳، ۲۰۰۱ و ۲۰۰۰



شکل ۸. میزان درصد رطوبت اشباع ماهانه ۴ سال ۲۰۰۷، ۲۰۰۵، ۲۰۰۳، ۲۰۰۱ و ۲۰۰۰

به طور کلی مدل به دست آمده برای هر پیکسل، فراوانی ماهانه طوفان‌های گرد و غبار را با فرض معلوم بودن متغیرهای اقلیمی و پوشش گیاهی در هر سال پیش‌بینی می‌کند. سرانجام، معادله نهایی برای استان خوزستان براساس میانگین‌گیری از کل ۳۴۲ پیکسل موجود ارائه شد.

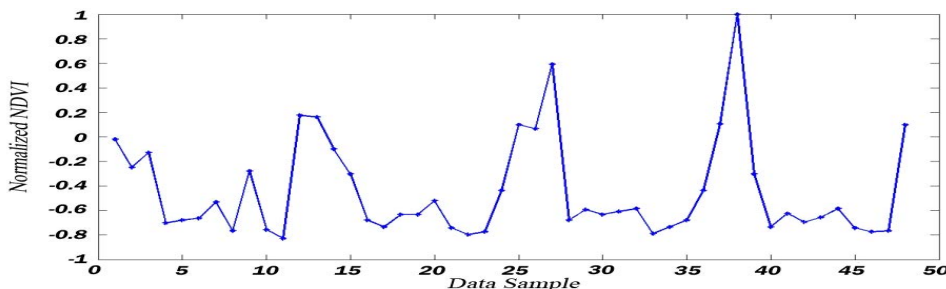
رابطه (۲)

$$|y| = 39.9009 (|x_1| + 1)^{1/38} \cdot (|x_2| + 1)^{-1/38} - (|x_3| + 1)^{-1/499} \cdot (|x_4| + 1)^{-1/751} \cdot (|x_5| + 1)^{-1/488}$$

در رابطه (۲)،  $x_1$  سرعت باد؛  $x_2$  بارندگی؛  $x_3$  دما؛  $x_4$  درصد رطوبت نسبی؛ و  $x_5$  NDVI است.

در شکل‌های ۷ و ۸، پراکندگی ماهانه بارندگی و درصد رطوبت اشباع مشاهده می‌شود. از ماه خرداد تا مهر عدم تغییر بارندگی به چشم می‌خورد در این موقع از سال مقدار بارندگی ثابت است و ارتباط معکوسی بین این نمودار با فراوانی طوفان‌های گرد و غبار وجود دارد. درصد رطوبت نسبی هم در اواسط تابستان به کمترین مقدار خود و در آذرماه به حداقل مقدار خود می‌رسد. نمودار NDVI در مقایسه با سایر نمودارها نوسان بیشتری را نشان می‌دهد و در این سال‌ها بیشترین میزان سبزینگی گیاهان در اواسط زمستان تا اوایل بهار و کمترین میزان آن نیز از اوخر بهار تا اواسط تابستان دیده شد (شکل ۹).

#### مدل سازی مکانی - زمانی وقوع طوفان‌های گردوغبار در استان خوزستان

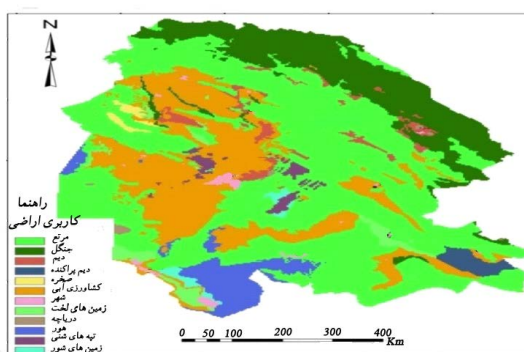


شکل ۹. میزان NDVI ماهانه ۴ سال ۲۰۰۱، ۲۰۰۳، ۲۰۰۵ و ۲۰۰۷

استان، خاک‌های لیتوسول آهکی مشاهده می‌شود. در قسمت شمال‌غربی خوزستان هم تنوعی از خاک‌های رسوبی با بافت ریز، خاک‌های قهوه‌ای بیابانی، و خاک‌های رسوبی با بافت درشت دیده می‌شود.

کاربری اراضی

همان طور که در شکل ۱۱ نشان داده شده است، در قسمت های جنوبی و جنوب غربی استان خوزستان، تپه ماسه ها و زمینه های لخت فاقد پوشش گیاهی به چشم می خورند. شایان ذکر است که کشاورزی در کل منطقه خوزستان به ویژه در قسمت های جلگه ای اهمیت ویژه ای دارد، ولی در اکثر مناطق، خاک عاری از هرگونه پوشش گیاهی و حفاظ در برابر بادهای با سرعت بالاست. همچنین در قسمت های شرقی و شمال شرقی استان، علاوه بر کشاورزی های آبی، کاربری اراضی عمدتاً با جنگل هاست.



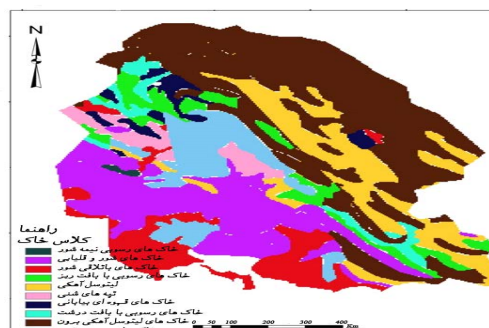
### شکل ۱۱. نقشه کاربری اراضی

### ۳-۲- پارامترهای نسبتاً پایا در فراوانی و قوع طوفان‌های گرد و غبار

دسته دوم از پارامترهای تأثیرگذار بر وقوع طوفان‌های گرد و غبار، ویژگی‌های سطحی زمین مثل نوع خاک، کاربری اراضی، شوری و قلیابودن خاک، و نوع پوشش گیاهی هستند. با توجه به تغییرات نسبتاً کندر این پارامترها در مقایسه با پارامترهای اقلیمی و میزان سبزینگی (NDVI) در این تحقیق به عنوان پارامترهای نسبتاً پایا و تأثیرگذار بر وقوع طوفان‌های گرد و غبار نامیده شده‌اند.

نقشه خاک

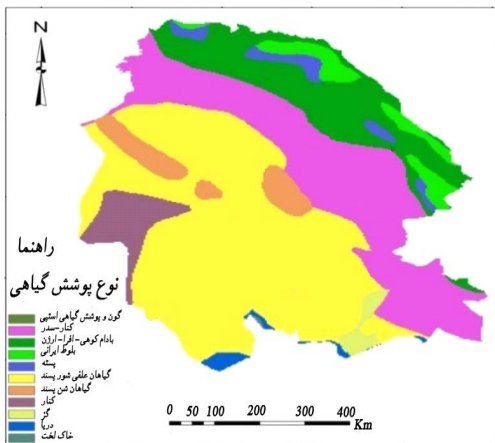
همان طور که نقشه خاک در شکل ۱۰ نشان می‌دهد، خاک قسمت‌های جنوبی و جنوب غربی استان خوزستان از نوع خاک‌های شور و قلیاً هستند. در این خاک‌های شور، سدیم فراوان، باعث پراکندگی ذرات خاک می‌شود و به تدریج به سمت شرق و شمال شرقی



#### شکل ۱۰. نقشه تقسیم‌بندی خاک‌های خوزستان

### (استخراج شده از نقشه فائو)

در نتیجه، امکان انتشار ذرات خاک و ایجاد طوفان‌های گرد و غبار در این مناطق در مقایسه با مناطق جنوبی استان که پوشش گیاهی کمتر از ارتفاعی دارند، کمتر است (شکل ۱۳).



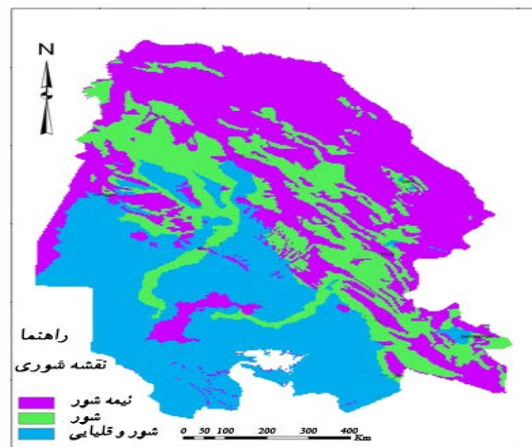
شکل ۱۳. نوع پوشش گیاهی استان خوزستان

### ۳-۳- بررسی فراوانی و قوع طوفان‌های گرد و غبار در کلاس‌های متفاوت خاک

در این مرحله، برای تعیین دقیق‌تر فراوانی و قوع طوفان‌های گرد و غبار، آن‌ها در کلاس‌های گوناگون خاک به‌طور جداگانه‌ای بررسی شدند. لایه اطلاعاتی کلاس‌های خاک به صورت ماتریس  $1273 \times 1205$  درآمد. علاوه بر این، داده‌های اقلیمی هم Resample و به ماتریس تبدیل شدند. سپس، برای هر ۱۰ نوع خاک موجود، میانگین مدل‌های رگرسیونی در محیط نرم‌افزار MATLAB محاسبه و برای هر نوع خاک، مدلی که شامل پارامترهای اقلیمی و پوشش گیاهی است، برآش داده شد. در ادامه ۱۰ نوع مدل محاسبه شده به همراه نمودار فراوانی واقعی طوفان‌های به دست آمده و مقادیر پیش‌بینی شده نشان داده شده است (شکل‌های ۱۴ تا ۲۳).

### شوری خاک

از نظر شوری، خاک‌های استان خوزستان به سه دسته کلی تقسیم می‌شوند (شکل ۱۲). دسته نخست، مناطقی که دارای خاک‌های شورند و اغلب شامل قسمت‌هایی در جنوب‌شرقی و مرکزی استان هستند. دسته دوم، شامل مناطقی که خاک‌های نیمه‌شور دارند. این خاک‌ها در مناطقی قرار دارند که اغلب جنگل‌های استان خوزستان در این مناطق اند. این خاک‌ها تقریباً کل حاشیه شمالی و شمال شرقی خوزستان مثل مناطق اطراف ایده و حاشیه‌ای باریک در شمال‌غربی خوزستان را به خود اختصاص داده‌اند. دسته سوم، خاک‌های شور و قلیاً هستند که از نامطلوب‌ترین خاک‌ها از نظر ساختمان فیزیکی به شمار می‌آینند. گستردگی این خاک‌ها، در مناطق جنوبی، غربی و جنوب‌غربی بیشتر از سایر مناطق است.

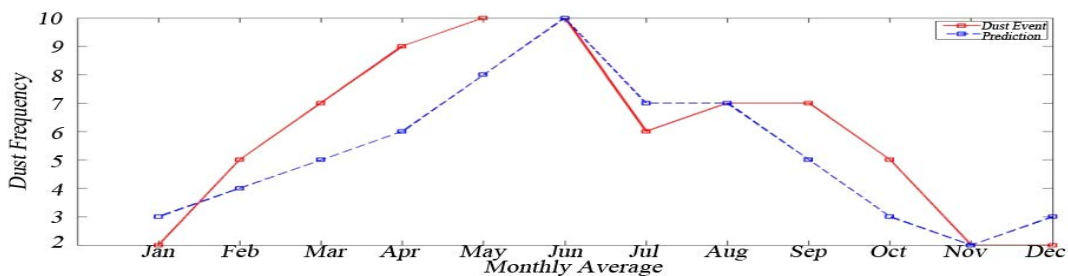


شکل ۱۲. نقشه شوری خاک‌های استان خوزستان

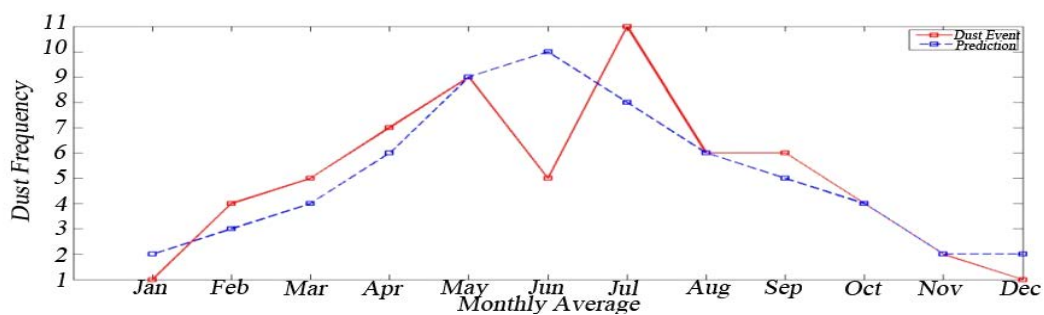
### نوع پوشش گیاهی

در مجموع، در قسمت‌های شمالی، شرقی و شمال‌غربی خوزستان به دلیل پوشش گیاهی مناسب مثل جنگل‌های بلوط و گنار، به بادهایی با سرعت آستانهای بالاتر برای بلند کردن ذرات خاک نیاز است.

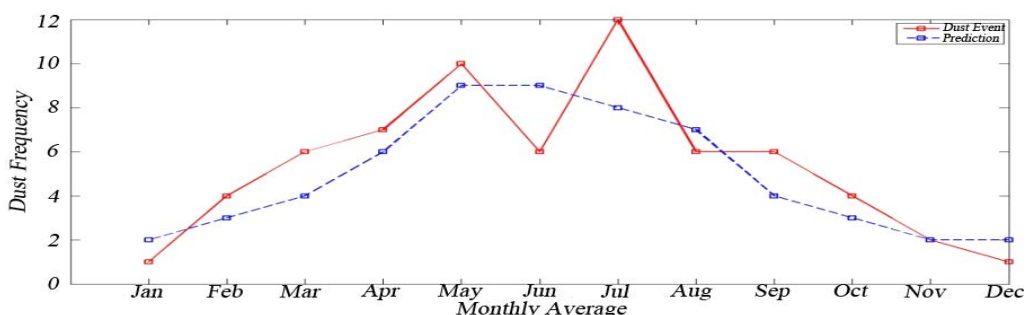
### مدل‌سازی مکانی-زمانی وقوع طوفان‌های گرد و غبار در استان خوزستان



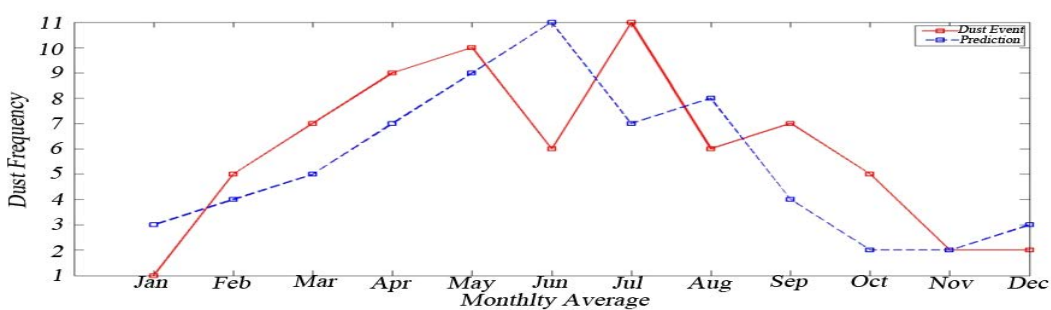
شکل ۱۴. مقدار واقعی و پیش‌بینی شده تعداد گرد و غبار برای خاک‌های شور و قلیا



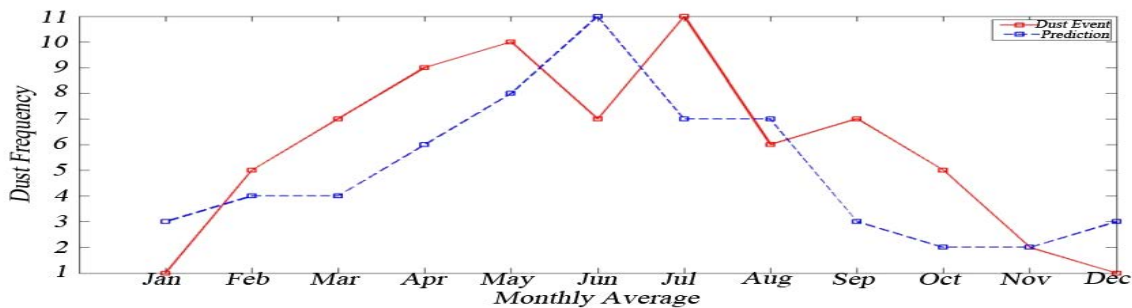
شکل ۱۵. مقدار واقعی و پیش‌بینی شده تعداد گرد و غبار برای خاک‌های لیتوسل آهکی برون



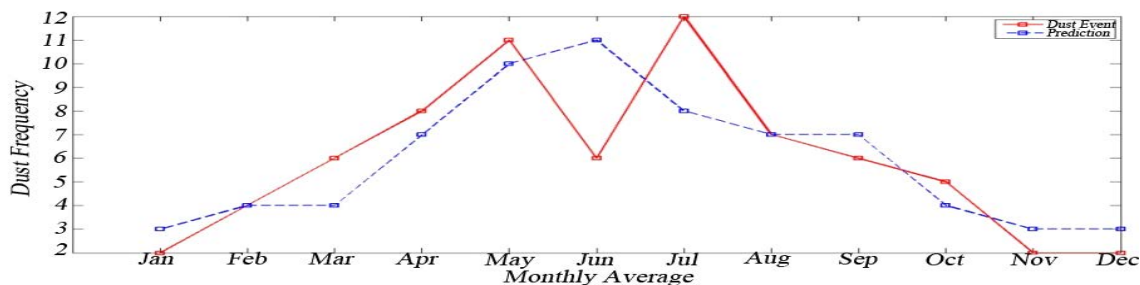
شکل ۱۶. مقدار واقعی و پیش‌بینی شده تعداد گرد و غبار برای خاک‌های لیتوسل آهکی



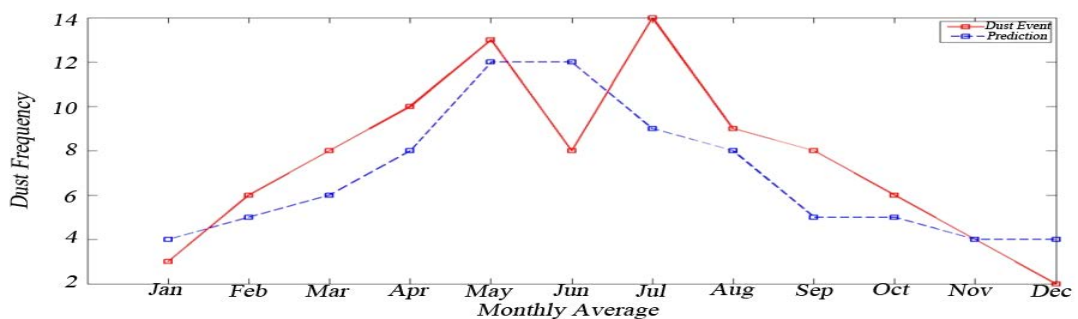
شکل ۱۷. مقدار واقعی و پیش‌بینی شده تعداد گرد و غبار برای خاک‌های رسوبی شور



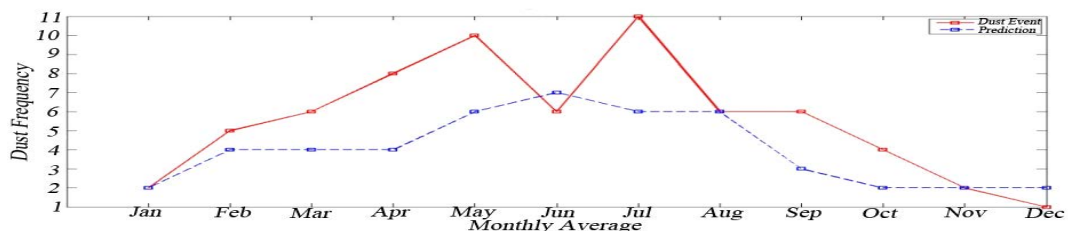
شکل ۱۸. مقدار واقعی و پیش‌بینی شده تعداد گرد و غبار برای تپه‌های شنی



شکل ۱۹. مقدار واقعی و پیش‌بینی شده تعداد گرد و غبار برای خاک‌های رسوی با بافت ریز

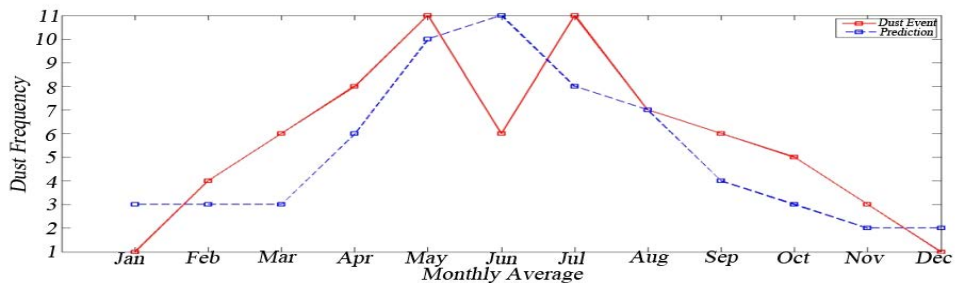


شکل ۲۰. مقدار واقعی و پیش‌بینی شده تعداد گرد و غبار برای خاک‌های رسوی با بافت درشت

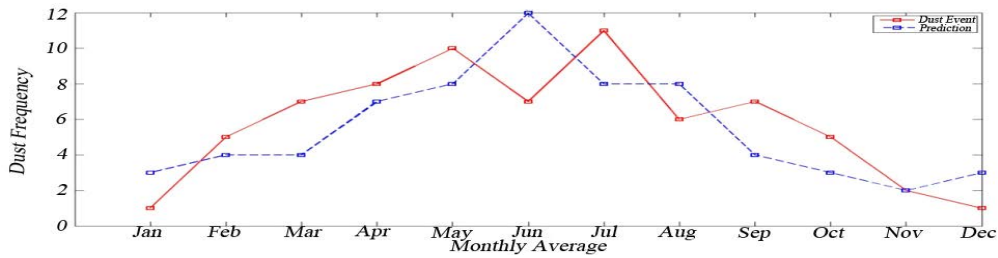


شکل ۲۱. مقدار واقعی و پیش‌بینی شده تعداد گرد و غبار برای خاک‌های با تلاقی شور

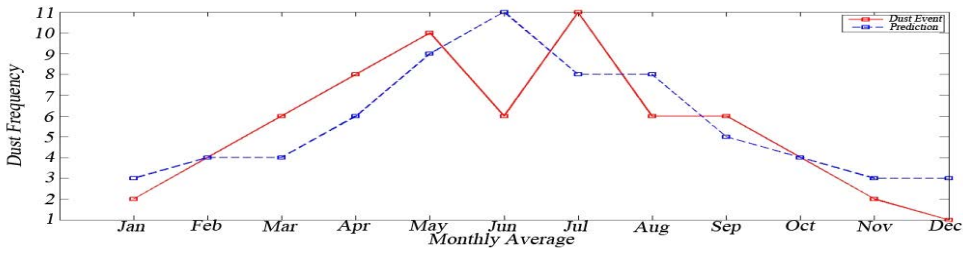
## مدل‌سازی مکانی-زمانی وقوع طوفان‌های گرد و غبار در استان خوزستان



شکل ۲۲. مقدار واقعی و پیش‌بینی شده تعداد گرد و غبار برای خاک‌های قهوه‌ای بیابانی



شکل ۲۳. مقدار واقعی و پیش‌بینی شده تعداد گرد و غبار برای خاک‌های رسوبی نیمه‌شور



شکل ۲۴. مقایسه میانگین فراوانی گرد و غبار واقعی با مقدار پیش‌بینی شده از مدل برای کل استان

مدل و R مقادیر فراوانی واقعی وقوع طوفان‌های گرد و غبار برای ماههای سال است.

### ۴-۳-نتایج اعتبارسنجی مدل‌ها

به منظور ارزیابی دقیقت مدل به دست آمده براساس میانگین ماهانه سال‌های زوج، برای هر پیکسل تعداد گرد و غبار در یک ماه مشخص پیش‌بینی شده است. سپس از کل پیکسل‌ها، میانگین تعداد گرد و غبارهای پیش‌بینی شده با میانگین تعداد گرد و غبارهای واقعی که از سال‌های فرد به دست آمده بودند مقایسه شده و نتایج آن در شکل ۲۴ آمده است. در جدول فراوانی وقوع طوفان‌های گرد و غبار واقعی و تعداد پیش‌بینی شده برای کل استان خوزستان و برای ماههای گوناگون نشان داده شده است. شایان ذکر است که اعداد موجود در جدول گردشده اعداد واقعی هستند.

با توجه به مدل‌ها و نمودارهای به دست آمده برای خاک‌های گوناگون، مشاهده شد که در همه مدل‌ها، بین مقادیر واقعی و پیش‌بینی شده فراوانی وقوع طوفان‌های گرد و غبار، انطباق نسبتاً بالایی (همبستگی ۰/۸۵) وجود دارد (رابطه ۳). تنها استثنای در خردادماه است که برای همه نوع خاک رابطه بین مقادیر پیش‌بینی شده و واقعی معکوس است. در این ماه، با وجود پیش‌بینی مدل، فراوانی طوفان‌های گرد و غبار ناگهان کاهش پیدا کرده است. این امر در ظاهر غیرطبیعی است و علت آن باید بررسی شود.

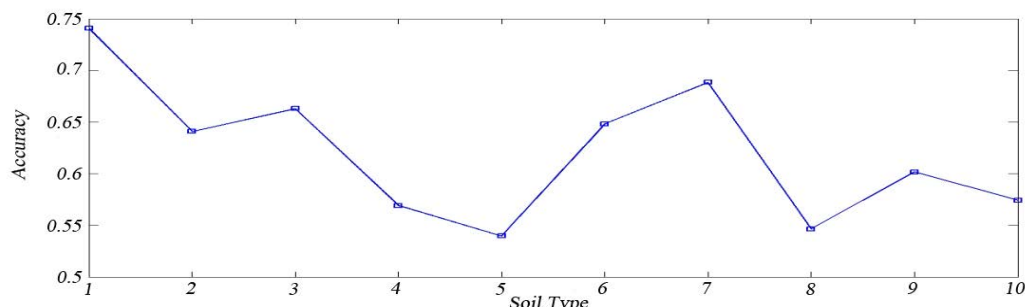
رابطه (۳)

$$\text{Correl}(P, R) = \frac{\sum (p - \mu_p)(r - \mu_r)}{\sqrt{\sum (\pi - \mu_p)^2 \sum (r - \mu_r)^2}}$$

که در آن P نشان‌دهنده مقادیر پیش‌بینی شده به وسیله

جدول ۲. مقادیر واقعی و پیش‌بینی شده از مدل

ماه	Jan	Feb	Mar	Apr	May	Jun	Jul	Aug	Sep	Oct	Nov	Dec
مقدار واقعی (O)	۲	۴	۶	۸	۱۰	۶	۱۱	۶	۶	۴	۲	۱
مقدار پیش‌بینی شده (P)	۳	۴	۵	۶	۹	۱۰	۹	۷	۵	۴	۲	۲



شکل ۲.۵. دقت هر یک از ۱۰ مدل به دست آمده برای ۱۰ نوع خاک

و پوشش گیاهی، با احتمال ۶۵ درصد می‌توان در استان خوزستان میزان فراوانی طوفان‌های گرد و غبار را پیش‌بینی کرد. میزان دقت ۱۰ مدلی که براساس خاک‌های مختلف به دست آمده بودند نیز محاسبه گردید، که نتایج آن در شکل ۲۵ نشان داده شده است. همان‌طور که دیده می‌شود، مدل تخمین‌زده شده برای خاک نوع ۱ (خاک‌های شور و قلیا) با دقتی معادل ۷۵ درصد بیشترین میزان دقت را دارد. میزان صحت مدل برای خاک‌های شماره ۵ و ۸ که شامل تپه‌های سنی و خاک‌های باتلاقی شورند، کمترین است.

#### ۴- بحث و نتیجه‌گیری

هدف این پژوهش، بررسی تأثیر پارامترهای اقلیمی و پوشش گیاهی بر وقوع طوفان‌های گرد و غبار در استان خوزستان بود. برای مطالعه این تأثیر، مجموعه‌ای از تحلیل‌های رگرسیونی و مدل‌سازی مکانی و زمانی انجام گرفت. یافته‌ها نشان دادند که بین میزان تغییرات مکانی و زمانی پارامترهای اقلیمی و پوشش گیاهی، با وقوع طوفان‌های گرد و غبار ارتباط نزدیکی وجود دارد. نقشه‌های ماهانه به دست آمده برای هر یک از متغیرها

همان‌طور که نمودار و جدول نشان می‌دهد، به جز در ماه خرداد (Jun)، در بقیه ماه‌ها مقدار پیش‌بینی شده با مقدار واقعی همبستگی بالای (۰/۹۶) نشان می‌دهد. در حالی که با احتساب خردادماه، میزان همبستگی کلی برابر ۰/۸۵ است. به منظور ارزیابی دقت مدل‌های ارائه شده از شاخص MSE میانگین مجذور خطای استفاده شد.

$$\text{MSE} = \frac{\sum (P - O)^2}{12} \quad (4)$$

در رابطه ۴، P مقدار پیش‌بینی شده و O مقدار واقعی یا همان مشاهده شده فراوانی طوفان‌های گرد و غبار است. اگر از MSE جذر گرفته شود به دست می‌آید که واحد آن دقیقاً شبیه به واحد متغیر تخمین‌زده شده است.

$$\text{RMSE} = \sqrt{\text{MSE}} \quad (5)$$

$$A = 1 - \frac{\text{RMSE}}{\mu_A} \times 100 \quad (6)$$

در رابطه ۶، A صحت مدل و  $\mu_A$  میانگین واقعی فراوانی طوفان‌های گرد و غبار است. پس از انجام محاسبات در رابطه‌های ذکر شده، صحت مدل ۶۵ درصد به دست آمد؛ یعنی با داشتن پارامترهای اقلیمی

می‌نماید و ممکن است به این دلایل پدیدار شده باشد:

(۱) میانگین‌گیری از سال‌های زوج، در صورتی که این پدیده تنها مربوط به یک سال باشد سبب حذف تأثیر آن شده است؛ و

(۲) پارامترهای دیگری از جمله فشار هوا به گونه‌ای تأثیر گذاشته‌اند که این پارامتر در ماه خرداد تغییر فاحشی داشته است.

یافته‌ها دیگر نشان دادند که با استفاده از پارامترهای اقلیمی، پوشش گیاهی و نوع خاک، می‌توان به پهنه‌بندی مناطق ایجاد گرد و غبار پرداخت. براساس این پارامترها، در هر نوع خاک مدلی برای پیش‌بینی فراوانی طوفان‌های گرد و غبار به دست آمد. یافته‌ها می‌توانند به شناخت بیشتر عوامل اقلیمی مؤثر در وقوع طوفان‌های گرد و غبار کمک کنند. همچنین، مطالعات در مورد متغیرهای سطحی (زمینی) مثل نوع خاک، کاربری اراضی و نوع پوشش گیاهی منطقه، می‌تواند به مدل‌سازی بهتر کمک کند. کارایی استفاده از این متغیرها برای پیش‌بینی فراوانی طوفان‌های گرد و غبار در مطالعات کاکمور و همکاران (2006)، و شاو و همکاران (2003) نیز بررسی شد؛ با این تفاوت که در مطالعات آنها، علاوه بر پارامترهای ذکر شده در این مقاله، اثر عوامل دیگر نظیر توپوگرافی و فشار هوا نیز در فراوانی این گونه طوفان‌ها بررسی شد.

بیشترین ضریب در میان ضریب مدل‌های به دست آمده متعلق به سرعت باد بود و این نشان می‌دهد که در استان خوزستان وابستگی بین فراوانی طوفان‌های گرد و غبار و سرعت باد بیشتر از عوامل و مؤلفه‌های دیگر بوده است. کوروساکی و میکامی (۲۰۰۵)، ارتباط پارامترهای گوناگون اقلیمی را با فراوانی طوفان‌های گرد و غبار در شرق آسیا مدل کردند و به این نتیجه رسیدند که مؤثرترین مؤلفه بر افزایش فراوانی طوفان‌های گرد و غبار در منطقه بررسی شده، سرعت باد بوده است.

در مناطق جنوبی و جنوب‌غربی خوزستان با خاک‌های شور و قلیابی و مستعد بودن این خاک‌ها برای ایجاد پدیده گرد و غبار، کم‌پشت‌بودن، و گاهی

و مقایسه آنها با نقشه‌های فراوانی طوفان‌های گرد و غبار در همان ماه این ارتباط را به خوبی نشان می‌داد. فراوانی طوفان‌های گرد و غبار، در خوزستان، آشکارا از روند تغییرات دمایی پیروی می‌کند. مطالعات گیوو و زای (2007) هم، دما را از عوامل مهم و تأثیرگذار بر وقوع طوفان‌های گرد و غبار برمی‌شمارد. در مناطقی که کمترین پوشش گیاهی، حداقل بارندگی و بیشترین دما و سرعت باد را داشته‌ند، بیشترین فراوانی ریزگردها به چشم می‌خورد. نتایج این پژوهش، یافته‌های برایان و همکاران (2007)، هارا و همکاران (2006)، ژوو و همکاران (2004)، تگن و همکاران (2004) و زوو و همکاران (2004) را تأیید می‌کند.

روطیت نسبی در خوزستان، در اثر بادهای شمالی که از داخل می‌وزد، در وسط روز کاهش می‌یابد و در موقعي که به طور اتفاقی باد از جنوب جریان می‌یابد، رطوبت - مخصوصاً در قسمت‌های جنوبی و جنوب غربی استان - به سرعت بالا می‌رود.

همان‌طور که نتایج نشان دادند سرعت باد تقریباً هماهنگی زیادی با فراوانی طوفان‌های گرد و غبار دارد؛ از این رو می‌توان باد را یکی از عوامل مهم تأثیرگذار بر فراوانی طوفان‌های گرد و غبار دانست - که مطالعات ویگس هم آن را تأیید می‌کند (Wigss, 2004).

به رغم تفاوت‌هایی که در فراوانی طوفان‌های گرد و غبار در ۴ سال ۲۰۰۱، ۲۰۰۳، ۲۰۰۵ و ۲۰۰۷ وجود دارد، در همه آن سال‌ها بیشترین فراوانی طوفان‌ها در تیرماه مشاهده می‌شود. فراوانی طوفان‌ها در ماه‌های مختلف سال نمودار هرمی‌شکلی است که بیشترین مقدار آن در اواسط تابستان است. در تمام فصل‌ها - به جز تابستان - هم‌خوانی خوبی بین تعداد واقعی فراوانی این طوفان‌ها با مقدار پیش‌بینی شده وجود دارد. افزون بر این، در سال‌های مورد بحث - به جز سال ۲۰۰۵ - در خرداد به یکباره سقوط ناگهانی نمودار به سمت پایین رخ داده است. در تمام مدل‌ها و نمودارهای به دست آمده برای خاک‌های مختلف هم این ناهمانگی وجود دارد. این ناهمانگی در ظاهر غیرطبیعی

صحت مدل برای خاک‌های باتلاقی و شنی در مقایسه با سایر خاک‌ها کمترین مقدار است، چرا که امکان انتشار ذرات به صورت گرد و غبار در این نوع خاک‌ها بسیار ناچیز است (Wen and Rose, 1984, Gong et al., 2001) همچنین، ممکن است گرد و غبارهای ثبت شده در این مناطق ناشی از مناطق مجاور با نوع خاک متفاوت باشد.

افزون بر اینها، یافته‌های پژوهش حاضر، رابطه بین پارامترهای اقلیمی و پوشش گیاهی را در خصوص فراوانی طوفان‌های گرد و غبار تأیید کرد. نتایج پژوهش پرسش‌ها و فرضیه‌های جدیدی را در زمینه نقش این پارامترها در فراوانی طوفان‌های گرد و غبار مطرح می‌سازد. بنابراین، پیشنهاد می‌گردد که متغیرهای دیگری غیر از پارامترهای ذکر شده در این پژوهش در خصوص فراوانی این طوفان‌ها بررسی شود. همچنین این که چه عواملی باعث هماهنگ‌بودن مقدار واقعی و مقدار پیش‌بینی شده فراوانی طوفان‌های گرد و غبار در خردامدماه شده است، موضوع دیگری است که می‌بایست در آینده به آن پرداخت.

## ۵- منابع

- Bandermer, H., Gebhardt, A., 2000, **Bayesian Fuzzy Kriging**, Fuzzy Sets and Systems, Vol. 112, PP. 405-418.
- Bryant, R.G., Bigg, G.R., Mahowald, N.M., Eckardt, F.D., Ross, S.G., 2007, **Dust Emission Response to Climate in Southern Africa**, Geophys, Vol. 112, PP. 92-102.
- Cakmur, R.V., Miller, R.L., Perlwitz, J., Geogdzhayev, I.V., Ginoux, P., Koch, D., Kohfeld, K.E., Tegen, I., Zender, C.S., 2006, **Constraining the Magnitude of the Global Dust Cycle by Minimizing the Difference Between a Model and Observations**, Geophys, Vol. 111, PP. 84-90.

فقدان پوشش گیاهی، عامل دیگر فراوانی وقوع این طوفان‌ها است دقیقاً در اطراف مناطقی که بیشترین فراوانی طوفان‌های گرد و غبار رخ می‌دهد، این‌گونه خاک‌ها نیز خاک اصلی زمین را تشکیل می‌دهند. در قسمت‌های شرقی و شمال شرقی خوزستان، با وجود بارندگی زیاد و دمای کمتر، وجود خاک‌های از نوع لیتوسل آهکی، پوشش گیاهی خوبی را ایجاد کرده و مجموعه این عوامل سبب شده است که فراوانی طوفان‌های گرد و غبار در این مناطق در مقایسه با سایر قسمت‌های استان کمتر باشد. در خاک‌های قسمت‌های شمال غربی خوزستان، به دلیل ساختمان فیزیکی مناسب و ارتباط خوب بین ذرات خاک، فرسایش کم و ظرفیت نگهداری آب بالاست. این عوامل باعث تراکم بیشتر پوشش گیاهی این مناطق در مقایسه با مناطق جنوبی و غربی است. در قسمت‌های جنوبی و جنوب‌غربی خوزستان، به دلیل وجود نداشتن پوشش روی خاک، حتی بادهای با سرعت‌های کم هم می‌توانند باعث انتشار ذرات گرد و به هوا شوند. در قسمت‌های شرقی و شمال شرقی خوزستان، پوشش گیاهی جنگلی همانند محافظی سطح خاک را محافظت می‌کند و درنتیجه به عنوان مانع برای انتشار ذرات غبار به هوا ظاهر می‌شود. در مناطقی از استان که خاک‌های سور دارند، یکی از عوامل محدود‌کننده رشد گیاهان، شوری خاک است و به همین دلیل در این مناطق گیاهان هالوفیت و سورپسند غلبه دارند. مناطقی که دارای خاک‌های نیمه‌شور هستند، آب و هوای مناسب‌تری در مقایسه با بقیه قسمت‌های استان دارند (مثل بارندگی بیشتر و دمای کمتر) و مناسب بودن خاک باعث شده است که در این مناطق، باد قادر به انتشار ذرات خاک به هوا نباشد.

نکته در خور توجه این است که دقیقاً در مناطقی که خاک‌های سور و قلیاً بسیار زیاد است، فراوانی این طوفان‌ها هم در مقایسه با مناطق دیگر بیشتر است، چون در این مناطق، خاک‌ها از نظر فیزیکی بسیار ضعیف و سست‌اند و با کمترین وزش باد به سرعت به هوا انتشار می‌یابند.

## مدل‌سازی مکانی–زمانی وقوع طوفان‌های گردوبغار در استان خوزستان

- Gao, Y., Arimoto, R., Duce, R.A., Zhang, X.Y., Zhang, G.Y., An, Z.S., Chen, L.Q., Zhou, M.Y., Gu, D.Y., 1997, **Temporal and Spatial Distributions of Dust and Its Deposition to the China Sea**, Tellus, Vol. 49, PP. 172–189.
- Gillette, D.A., 1981, **Production of Dust that May be Carried Great Distances**, Land degradation & development, Vol. 196, PP. 11–26.
- Ginoux, P., Prospero, J., Torres, O., Chin, M., 2004, **Long-term Simulation of Global Dust Distribution with the GOCART Model: Correlation with North Atlantic Oscillation**. Environ Model Softw, Vol. 19, PP. 113–128.
- Gong, S.L., Zhang, X.Y., Zhao, T.L., McKendry, I.G., Jaffe, D.A., Lu, N.M., 2003, **Characterization of Soil Dust Aerosol in China and Its Transport and Distribution During 2001 ACE-Asia. 2 Model Simulation and Validation**, Geophys, Vol. 108, PP. 42-52.
- Grist, J., Nicholson, S.E., Mpolokang, A., 1997, **On the Use of NDVI for Estimating Rainfall in the Kalahari of Botswana**, Arid Environment, Vol. 35, PP. 194–214.
- Hara, Y., Uno, I., Wang, Z., 2006, **Long-term Variation of Asian Dust and Related Climate Factors**, Atmos. Environ Vol. 40, PP. 6730–6740.
- He, Q., Yang, Q., Li, H.J., 2003, **Variations of Air Temperature, Precipitation and Sand-dust Weather in Xinjiang in Past 40 Years**, Glaciology and Geocryology, Vol. 25, PP. 423–427.
- Hu, L.Q., Xia, J.D., Sang, C.Q., 2001, **Analysis of Satellite Images of Strong Sandstorm in Xinjiang**, Arid Land Geography, Vol. 24, PP. 30–32.
- In, H.J., Park, S.V., 2002, **A Simulation of Long-range Transport of Yellow Sand Observed in April 1998 in Korea** Atmospheric Environment, Vol. 36, PP. 4173–4187.
- In, H.J., Park, S.U., 2003, **The Soil Particle Size Dependent Emission Parameterization for an Asian Dust Observed in Korea in April 2002**, Atmosphere of Environ, Vol. 37, PP. 4625–4636.
- Kurosaki, Y., Mikami, M., 2003, **Recent Frequent Dust Events and Their Relation to Surface Wind in East Asia**, Geophys, Vol. 30, PP. 17-36.
- Kurosaki, Y., Mikami, M., 2005, **Regional Difference in the Characteristics of Dust Event in East Asia: Relationship Among Dust Outbreak, Surface Wind, and Land Surface Condition**, Meteorol Soc, Vol. PP. 83, 1–8.
- Lancaster, N.A., 1998, **Influence of Vegetation Cover on Sand Transport by Wind: Field Studies at Owens Lake, California**, Earth Surface Processes and Land forms, Vol. 23, PP. 69–82.
- Li, X.Y., Wang, J.H., Liu, L.Y., 2002, **Wind Tunnel Simulation Experiment on the Erodibility of the Fixed Aeolian Sandy Soil by Wind**. 5th Arid and Semi arid Lands Conference.

- Lin, J., Sun, S.H., Wang, J.H., 1999, **Evaluation Methodology of Land Desertification Level Caused by Wind-erosion in the Sand-dust Storm Frequently-occurring Area**, Desert Research, Vol. 19, PP. 375–377.
- Malo, A.R., Nicholson, S.E., 1990, **A Study of the Rainfall and Vegetation Dynamics in the African Sahel Using the Normalized Difference Vegetation Index**, Arid Environ, Vol. 19, PP. 1–24.
- Mather, M., 1987, **Computer Processing of Remotely-Sensed Images**, John Witely & Sons press, England.
- Nickling, W.G., Brazel, A.J., 1984, **Temporal and Spatial Characteristics of Arizona Dust Storms (1965–1980)**, Climatol, Vol. 4, PP. 645–660.
- Nicholson, S.E., Farrar, T.J., 1994, **The Influence of Soil Type on the Relationship Between NDVI, Rainfall, and Soil Moisture in Semiarid Botswana: I. NDVI Response to Rainfall**, Remote Sens Environ, Vol. 50, PP. 107–120.
- Park, S.U., In, H.J., 2003, **Parameterization of Dust Emission for the Simulation of the Yellow Sand (Asian dust) Event observed in March 2002 in Korea**, Geophys, Vol. 108, PP. 657-663.
- Prospero, J.M., Ginoux, P., Torres, O., Nicholson, S.E., Gill, T.E., 2002, **Environmental Characterization of Global Sources of Atmospheric Soil Dust Identified with the NIMBUS 7 Total Ozone Mapping Spectrometer (TOMS)** Absorbing Aerosol Product, Geophys, Vol. 40, PP. 2–31.
- Qian, Y.B., Wu, Z.N., Jiang, J., 2004a, **Eco-environmental Change and its Impact Factors in the Aibi Lake Catchment During the Past 50 Years**, Glaciology and Geocryology, Vol. 26, PP. 17–26.
- Qian, Y.B., Wu, Z.N., Zhang, L.Y., 2004b, **Ground-Surface Conditions Resulting in Sand-Dust Storms in the South Junggar Basin**, Arid Land Geography, Vol. 27, PP. 540–542.
- Qian, Z.A., Song, M.H., Li, W.Y., 2002, **Analyses on Distributive Variation and Forecast of Sand-Dust Storms in Recent 50 Years in North China**, Desert Research, Vol. 22, PP. 106–111.
- Shao, Y., 2001, **A Model for Mineral Dust Emission**, Geophys, Vol. 106, PP. 239–254.
- Shao, Y., Wang, J.J., 2003, **A Climatology of Northeast Asian Dust Events**, Meteorol, Vol. 12, PP. 175–183.
- Shao, Y., 2003, **Northeast Asia Dust Storms: Real-time Numerical Prediction and Validation**, Geophys, Vol. 108, PP. 46-54.
- Shao, Y., 2003, **Real-time Numerical Prediction of Northeast Asian Dust Storms Using an Integrated Modeling System**, Geophys, Vol. 108, PP. 102-111.
- Shi, G.Y., Zhao, S.X., 2003, **Several Scientific Issues of Studies on the Dust Storms**. Atmospheric Sciences, Vol. 27, PP. 591–606.

- Sun, J., Zhang, M., Liu, T., 2001, **Spatial and Temporal Characteristics of Dust Storms in China and Its Surrounding Regions, 1960–1999: Relations to Source Area and Climate**, Geophysical Research Atmospheres, Vol. 106, PP. 10325–10333.
- Sun, J.H., Zhao, L.N., Zhao, S.X., 2003a, **An Integrated Modeling System of Dust Storm Suitable to North China and Applications**, Clim Environ, Vol. 8, PP. 125–142.
- Tanaka, T.Y., Chiba, M., 2006, **A Numerical Study of the Contributions of Dust Source Regions to the Global Dust Budgets**, Glob Planet Change., Vol. 52, PP. 88–104.
- Tegen, I., Werner, M., Harrison, S.P., Kohfeld, K.E., 2004, **Relative Importance of Climate and Land use in Determining Present and Future Global Soil Dust Emission**, Geophysical Research Letters, Vol. 31, PP. 105-105.
- Walford, N., 1995, **Geographical Data Analysis**, WILEY, Amazon.
- Wang, X., Dong, Z., Zhang, J., 2004, **Modern Dust Storms in China: an Overview**, Arid Environment, Vol. 58 , PP. 559–574.
- Wen, S., Rose, W.I., 1994, **Retrieval of Sizes and Total Masses of Particles in Volcanic Clouds Using AVHRR Bands 4 and 5**, Geophys, Vol. 99, PP. 5421–5431.
- Wiggs, G.F.S., Bullard, J.E., Atherton, R.J., 2004, **The Dynamic Effects of Moisture on the Entrainment and Transport of Sand by Wind**, Geomorphology, Vol. 59, PP. 13–30.
- William, T.H., Thomas, G., 1996, **Modeling NDVI from Decadal Rainfall Data in the Northeast Arid Zone of Nigeria**, Environ Manag, Vol. 48, PP. 249–261.
- Zhou, X.K.K., Zhai, P.M.M., 2004, **Relationship between Vegetation Coverage and Spring Dust Storms Over Northern China**, Geophys, Vol. 109, PP. 453-459.
- Zhou, X.K., Zhai, P.M. 2004, **Relationship between Vegetation Coverage and Spring Dust Storms over Northern China**, Geophysical Research, Vol. 109, PP. 987-993.